

**Příklad S0.1. Testovací statistika, simulační studie**

Na základě simulační studie proveďte, že pokud má náhodná proměnná  $X$  asymptoticky binomické rozdělení  $\text{Bin}(N, p)$ , potom testovací statistika

$$Z_W = \frac{X/N - p}{\sqrt{p(1-p)/N}}$$

má asymptoticky normální rozdělení  $N(0, 1)$ . Použijte (a)  $p = 0.1$ ; (b)  $p = 0.5$ ; (c)  $p = 0.9$ , a  $N = 5, 10, 15, 20, 25, 50, 100$  a  $200$ . Okomentujte výsledky ve spojitosti s Haldovou podmínkou  $Np(1-p) > 9$ . Pro každou simulaci  $X$  vypočítejte  $z_{W,m}$ ,  $m = 1, 2, \dots, M$ , kde  $M = 1000$ . Histogram vygenerovaných testovacích statistik v relativní škále superponujte s teoretickou křivkou hustoty  $Z_W$ .

V komentářích zhodnoťte, zda je Haldova podmínka dobrým ukazatelem situací, kdy je možné rozdělení testovací statistiky  $Z_W$  aproximovat normálním rozdělením  $N(0, 1)$ , i situací, kdy to naopak není vhodné.

Obrázek 1: Asymptotické normální rozdělení Waldovy testovací statistiky  $Z_W$  pro test o pravděpodobnosti

**Příklad S0.2. Pravděpodobnost pokrytí Waldova DIS**

Nechť  $X \sim \text{Bin}(N, p)$ , kde  $N = 30$  a  $p = 0.8$ . Při experimentu bylo z  $N = 30$  pokusů zamenáno 24 úspěchů, tj.  $x = 24$ . Odhad pravděpodobnosti úspěchu  $\hat{p} = \frac{24}{30} = 0.8$ . Waldův 95 % empirický DIS pro  $p$  je rovný  $(d, h) = (0.657, 0.943)$ . Vypočítejte pravděpodobnost pokrytí tohoto intervalu.

*Poznámka:* Pravděpodobnost pokrytí Waldova 95 % DIS pro  $p$  vypočítáme následovně:

$$\Pr(\text{pokryti}) = \sum_j \Pr(X = Np_j : p \in \text{Waldovu 95 \% DIS pro } p_j),$$

kde  $p_j \in \mathcal{M}_J = \{\frac{1}{30}, \frac{2}{30}, \dots, 1 - \frac{1}{30}\}$ , t.j. jde o součet takových funkčních hodnot pravděpodobnostní funkce v bodech  $Np_j$ , kde  $p \in \text{Waldovu 95 \% DIS pro } p_j$ . Výsledky uspořádejte do tabulky, jejíž sloupce budou  $x_j$ ,  $p_j$ ,  $dh_j$  (dolní hranice Waldova 95 % DIS pro  $p_j$ ),  $hh_j$  (horní hranice Waldova 95 % DIS pro  $p_j$ ),  $\Pr(X = Np_j)$  a  $p \in IS_j$  (indikace toho, zda  $p$  náleží nebo nenáleží do Waldova 95 % DIS pro  $p_j$ ).

Celý postup následně zopakujte, tentokrát pro parametr  $p = 0.79$ . Pozorujte, jak se změnila pravděpodobnost pokrytí.

Tabulka 1: Pravděpodobnost pokrytí Waldova 95 % empirického DIS pro parametr  $p = 0.80$ , když  $\hat{p} = 0.80$

|    | $x_j$ | $p_j$  | $dh_j$  | $hh_j$ | $\Pr(X = Np_j)$ | $p \in IS_j$ |
|----|-------|--------|---------|--------|-----------------|--------------|
| 1  | 1     | 0.0333 | -0.0309 | 0.0976 | 0.0000          | 0            |
| 2  | 2     | 0.0667 | -0.0226 | 0.1559 | 0.0000          | 0            |
| 3  | 3     | 0.1000 | -0.0074 | 0.2074 | 0.0000          | 0            |
| 4  | 4     | 0.1333 | 0.0117  | 0.2550 | 0.0000          | 0            |
| 5  | 5     | 0.1667 | 0.0333  | 0.3000 | 0.0000          | 0            |
| 6  | 6     | 0.2000 | 0.0569  | 0.3431 | 0.0000          | 0            |
| 7  | 7     | 0.2333 | 0.0820  | 0.3847 | 0.0000          | 0            |
| 8  | 8     | 0.2667 | 0.1084  | 0.4249 | 0.0000          | 0            |
| 9  | 9     | 0.3000 | 0.1360  | 0.4640 | 0.0000          | 0            |
| 10 | 10    | 0.3333 | 0.1646  | 0.5020 | 0.0000          | 0            |
| 11 | 11    | 0.3667 | 0.1942  | 0.5391 | 0.0000          | 0            |
| 12 | 12    | 0.4000 | 0.2247  | 0.5753 | 0.0000          | 0            |
| 13 | 13    | 0.4333 | 0.2560  | 0.6107 | 0.0000          | 0            |
| 14 | 14    | 0.4667 | 0.2881  | 0.6452 | 0.0000          | 0            |
| 15 | 15    | 0.5000 | 0.3211  | 0.6789 | 0.0002          | 0            |
| 16 | 16    | 0.5333 | 0.3548  | 0.7119 | 0.0007          | 0            |
| 17 | 17    | 0.5667 | 0.3893  | 0.7440 | 0.0022          | 0            |
| 18 | 18    | 0.6000 | 0.4247  | 0.7753 | 0.0064          | 0            |
| 19 | 19    | 0.6333 | 0.4609  | 0.8058 | 0.0161          | 1            |
| 20 | 20    | 0.6667 | 0.4980  | 0.8354 | 0.0355          | 1            |
| 21 | 21    | 0.7000 | 0.5360  | 0.8640 | 0.0676          | 1            |
| 22 | 22    | 0.7333 | 0.5751  | 0.8916 | 0.1106          | 1            |
| 23 | 23    | 0.7667 | 0.6153  | 0.9180 | 0.1538          | 1            |
| 24 | 24    | 0.8000 | 0.6569  | 0.9431 | 0.1795          | 1            |
| 25 | 25    | 0.8333 | 0.7000  | 0.9667 | 0.1723          | 1            |
| 26 | 26    | 0.8667 | 0.7450  | 0.9883 | 0.1325          | 1            |
| 27 | 27    | 0.9000 | 0.7926  | 1.0074 | 0.0785          | 1            |
| 28 | 28    | 0.9333 | 0.8441  | 1.0226 | 0.0337          | 0            |
| 29 | 29    | 0.9667 | 0.9024  | 1.0309 | 0.0093          | 0            |

Tabulka 2: Pravděpodobnost pokrytí Waldova 95 % empirického DIS pro parametr  $p = 0.79$ , když  $\hat{p} = 0.80$ 

|    | $x_j$ | $p_j$  | $dh_j$  | $hh_j$ | $\Pr(X = Np_j)$ | $p \in IS_j$ |
|----|-------|--------|---------|--------|-----------------|--------------|
| 1  | 1     | 0.0333 | -0.0309 | 0.0976 | 0.0000          | 0            |
| 2  | 2     | 0.0667 | -0.0226 | 0.1559 | 0.0000          | 0            |
| 3  | 3     | 0.1000 | -0.0074 | 0.2074 | 0.0000          | 0            |
| 4  | 4     | 0.1333 | 0.0117  | 0.2550 | 0.0000          | 0            |
| 5  | 5     | 0.1667 | 0.0333  | 0.3000 | 0.0000          | 0            |
| 6  | 6     | 0.2000 | 0.0569  | 0.3431 | 0.0000          | 0            |
| 7  | 7     | 0.2333 | 0.0820  | 0.3847 | 0.0000          | 0            |
| 8  | 8     | 0.2667 | 0.1084  | 0.4249 | 0.0000          | 0            |
| 9  | 9     | 0.3000 | 0.1360  | 0.4640 | 0.0000          | 0            |
| 10 | 10    | 0.3333 | 0.1646  | 0.5020 | 0.0000          | 0            |
| 11 | 11    | 0.3667 | 0.1942  | 0.5391 | 0.0000          | 0            |
| 12 | 12    | 0.4000 | 0.2247  | 0.5753 | 0.0000          | 0            |
| 13 | 13    | 0.4333 | 0.2560  | 0.6107 | 0.0000          | 0            |
| 14 | 14    | 0.4667 | 0.2881  | 0.6452 | 0.0001          | 0            |
| 15 | 15    | 0.5000 | 0.3211  | 0.6789 | 0.0003          | 0            |
| 16 | 16    | 0.5333 | 0.3548  | 0.7119 | 0.0011          | 0            |
| 17 | 17    | 0.5667 | 0.3893  | 0.7440 | 0.0034          | 0            |
| 18 | 18    | 0.6000 | 0.4247  | 0.7753 | 0.0091          | 0            |
| 19 | 19    | 0.6333 | 0.4609  | 0.8058 | 0.0217          | 1            |
| 20 | 20    | 0.6667 | 0.4980  | 0.8354 | 0.0449          | 1            |
| 21 | 21    | 0.7000 | 0.5360  | 0.8640 | 0.0805          | 1            |
| 22 | 22    | 0.7333 | 0.5751  | 0.8916 | 0.1239          | 1            |
| 23 | 23    | 0.7667 | 0.6153  | 0.9180 | 0.1621          | 1            |
| 24 | 24    | 0.8000 | 0.6569  | 0.9431 | 0.1778          | 1            |
| 25 | 25    | 0.8333 | 0.7000  | 0.9667 | 0.1605          | 1            |
| 26 | 26    | 0.8667 | 0.7450  | 0.9883 | 0.1161          | 1            |
| 27 | 27    | 0.9000 | 0.7926  | 1.0074 | 0.0647          | 0            |
| 28 | 28    | 0.9333 | 0.8441  | 1.0226 | 0.0261          | 0            |
| 29 | 29    | 0.9667 | 0.9024  | 1.0309 | 0.0068          | 0            |

Tabulka 3: Pravděpodobnost pokrytí Waldova 95 % empirického DIS pro parametr  $p$ 

|                         | $p = 0.8$ | $p = 0.79$ |
|-------------------------|-----------|------------|
| pravděpodobnost pokrytí | 0.9463    | 0.8876     |

**Příklad S0.3. Pravděpodobnost pokrytí Waldova, skóre a věrohodnostního DIS**

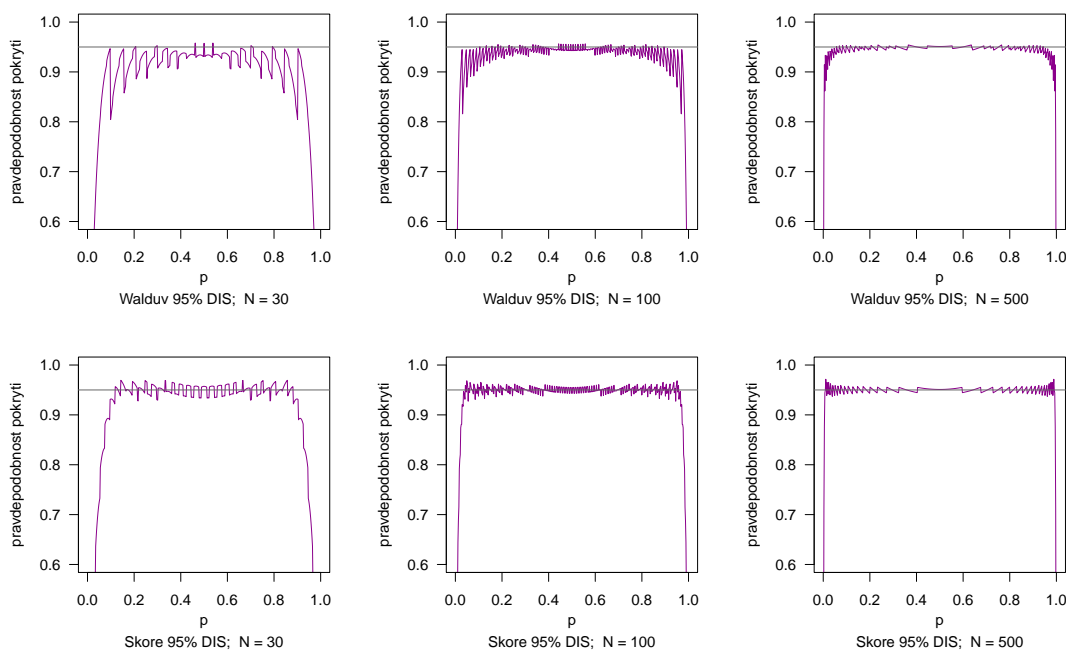
Nechť  $X_i \sim \text{Bin}(N, p_i)$ ,  $p_i \in \{0.001, 0.003, \dots, 0.997, 0.999\}$ . Vypočítejte pravděpodobnosti pokrytí (a) Waldova, (b) skóre, (c) věrohodnostního 95 % empirického oboustranného intervalu spolehlivosti pro každé  $p_i$ . Nakreslete obrázek, kde na ose  $x$  budou  $p_i$  a na ose  $y$  bude pravděpodobnost pokrytí  $\Pr_i(\text{pokrytí})$ . Zvolte (i)  $N = 30$ , (ii)  $N = 100$ , (iii)  $N = 500$ .

*Poznámka:* Pravděpodobnosti pokrytí 95 % DIS pro  $p_i$  vypočítáme následovně

$$\Pr_i(\text{pokrytí}) = \sum_j \Pr(X = Np_j : p_i \in 95\% \text{ DIS pro } p_j),$$

kde  $p_j \in \mathcal{M}_J = \{\frac{1}{N}, \frac{2}{N}, \dots, 1 - \frac{1}{N}\}$ , t.j. jde o součet takových funkčních hodnot pravděpodobnostní funkce v bodech  $Np_j$ , kde  $p_i \in 95\% \text{ DIS pro } p_j$ .

Zopakujte si definici konzervativního a liberálního IS (viz S02). V komentářích uveďte, zda je (a) Waldův; (b) skóre; (c) věrohodnostní DIS pro parametr  $p$  konzervativní, liberální, nebo ani jedno. Dále všechny tři DIS vzájemně porovnejte a uveďte, který DIS je z hlediska pravděpodobnosti pokrytí nevhodnějším intervalovým odhadem parametru  $p$  a který je naopak nejméně vhodný.



Obrázek 2: Pravděpodobnost pokrytí Waldových, skóre a věrohodnostních empirických intervalů spolehlivosti pro parametr  $p$  binomického rozdělení

**Příklad S0.4. Test o pravděpodobnosti  $p$ ; praktický příklad**

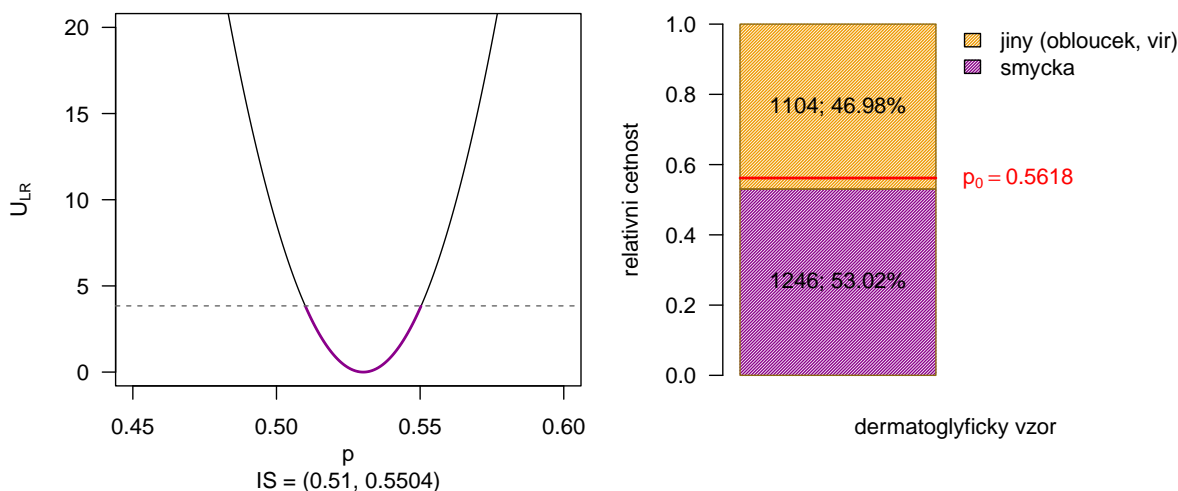
Mějme datový soubor 25-one-sample-probability-dermatoglyphs.txt obsahující údaje o frekvenci výskytu dermatoglyfických vzorů *vir* (whorl), *smyčka* (loop) a *oblouček* (arch) na deseti prstech 470 jedinců (235 mužů a 235 žen) populace Bagathů z Araku Valley. Současně máme k dispozici hodnotu pravděpodobnosti výskytu dermatoglyfického vzoru *smyčka* u jedinců z populace Lambadis ( $p_m = 0.5618$ ,  $p_f = 0.6233$ ).

Na hladině významnosti  $\alpha = 0.05$  zjistíte, zda existuje rozdíl mezi frekvencemi výskytu dermatoglyfického vzoru *smyčka* u mužů bagathské populace z Araku Valley a mužů z populace Lambadis. Před testováním ověřte splnění Haldovy podmínky dobré aproximace. Testování proveďte pomocí (a) kritického oboru; (b) intervalu spolehlivosti; (c)  $p$ -hodnoty při použití testovacích statistik (1)  $Z_W$ , (2)  $U_S$ , (3)  $U_{LR}$ . Vykreslete graf zobrazující hranice a oblast 95 % empirického věrohodnostního intervalu spolehlivosti pro test o parametru  $p$ . Nakonec vykreslete sloupcový diagram relativních četností výskytu vzoru *smyčka* v populaci bagathských mužů z Araku Valley. U každého typu testování (a)–(c) pro každý test (1)–(3) uveďte zdůvodněný závěr o  $H_0$  a nakonec uveďte antopologickou interpretaci výsledku testování.

*Poznámka:* Při testování  $H_0$  ověřujeme podmínku dobré aproximace ve tvaru  $Np(1-p) > 9$ , kde za  $p$  dosazujeme hodnotu  $p_0$  z nulové hypotézy  $H_0$ .

Tabulka 4: Výsledky testu o pravděpodobnosti  $p$  při použití testovacích statistik  $Z_W$ ,  $U_S$  a  $U_{LR}$

| Statistika | $\hat{p}$ | statistika | $W_{hh}$ | $W_{dh}$ | $IS_{dh}$ | $IS_{hh}$ | $p$ -hodnota |
|------------|-----------|------------|----------|----------|-----------|-----------|--------------|
| $Z_W$      | 0.5302    | -3.0681    | -1.9600  | 1.9600   | 0.5100    | 0.5504    | 0.0011       |
| $U_S$      | 0.5302    | 9.5244     |          | 3.8415   | 0.5100    | 0.5503    | 0.0020       |
| $U_{LR}$   | 0.5302    | 9.4808     |          | 3.8415   | 0.5100    | 0.5504    | 0.0021       |



Obrázek 3: 95 % věrohodnostní empirický interval spolehlivosti pro test o pravděpodobnosti  $p$  získaný na základě testovací statistiky  $U_{LR}$  (vlevo); sloupcový diagram relativních četností (vpravo)